

บทที่ 6



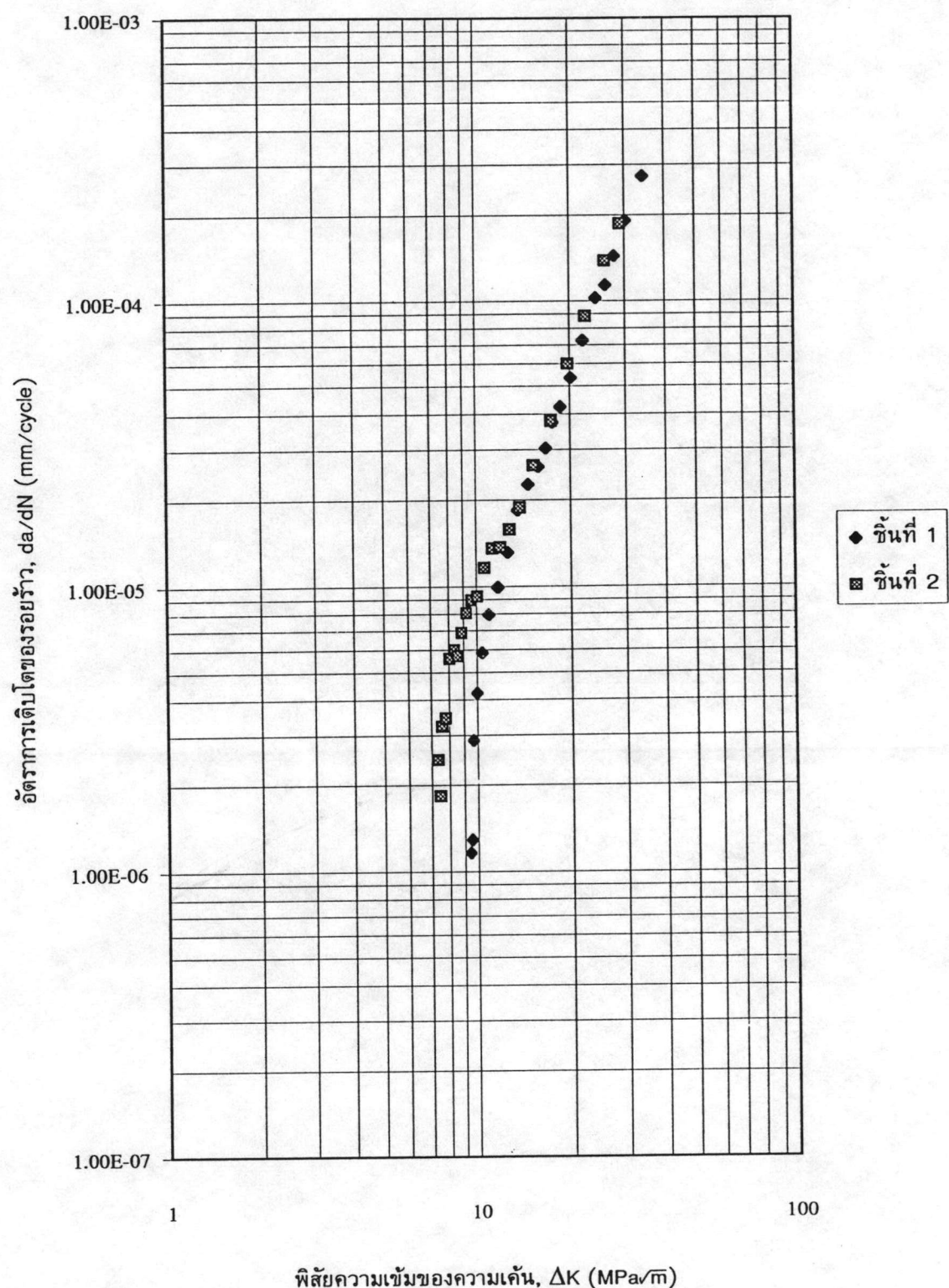
การอภิปรายผลการวิจัย

ในบทนี้ผู้วิจัยจะกล่าวถึงลักษณะของเส้นกราฟอัตราการเดินโดยของรอยร้าวนีองจากความล้าที่ได้จากการทดสอบซึ่งแสดงอยู่ในบทที่ 5 จากนั้นผู้วิจัยจะแสดงกราฟเปรียบเทียบผลของตัวแปรต่าง ๆ ที่ทำการศึกษา ได้แก่ ภาระสูงสุด และอัตราส่วนภาระ เพื่อนำไปสู่การวิเคราะห์เงื่อนไขในการจำลองสภาวะของภาระที่เกิดขึ้นจริงในชั้นส่วนโครงสร้างมายังชั้นงานทดสอบ และการหาสมการอัตราการเดินโดยของรอยร้าวนีองจากความล้าต่อไป

อัตราการเดินโดยของรอยร้าวที่สภาวะทดสอบต่าง ๆ

จากการทดสอบหาอัตราการเดินโดยของรอยร้าวที่แต่ละสภาวะทดสอบ(รูปที่ 5.1 - 5.12) พบร่วมกับข้อมูลของแต่ละสภาวะทดสอบซึ่งได้จากการทดสอบต่างชั้นกันมีการกระจัดกระจางอยู่ในขอบเขตเดียวกัน แสดงให้เห็นถึงความเหมือนของผลการทดสอบในแต่ละสภาวะทดสอบได้เป็นอย่างดี แม้ว่าจะทำการทดสอบโดยใช้ชั้นงานทดสอบจำนวน 2 ชั้น(รูปที่ 5.1 - 5.3, 5.5-5.9 และ 5.11-5.12) หรือจำนวน 4 ชั้น(รูปที่ 5.4 และ 5.10) ทำให้การทดสอบที่สภาวะทดสอบถัด ๆ ไปใช้ชั้นงานทดสอบจำนวน 2 ชั้น อีกทั้งยังสามารถนำผลการทดสอบที่ได้จากการทดสอบโดยใช้ชั้นงานทดสอบจำนวน 2 ชั้น และ 4 ชั้นมาเปรียบเทียบกันได้

อย่างไรก็ตามว่าจุดข้อมูลที่ได้จากการทดสอบชั้นงานต่างชั้นที่สภาวะทดสอบเดียวกันส่วนใหญ่จะสอดคล้องกันตามที่ได้กล่าวไปแล้ว แต่จากการทดสอบที่สภาวะของภาระทดสอบ 1.200 ± 0.400 ตัน(รูปที่ 5.3) และที่สภาวะของภาระทดสอบ 2.166 ± 1.167 ตัน(รูปที่ 5.2) กลับพบว่ามีความแตกต่างกันในช่วงเริ่มต้นของเส้นโค้งอัตราการเดินโดยของรอยร้าว หรือในบริเวณใกล้ชิดเริ่ม แต่เนื่องจากการศึกษาพฤติกรรมในบริเวณใกล้ชิดเริ่มอยู่นอกเหนือขอบเขตของงานวิจัยนี้ ประกอบกับจำนวนข้อมูลจากการทดสอบที่ใช้ประกอบการวิเคราะห์นั้นยังมีจำนวนไม่เพียงพอ(คือ 2 ชั้น)ทำให้การวิเคราะห์หาสาเหตุซึ่งจะกล่าวถึงต่อไปนี้เป็นเพียงข้อมูลดิฐานเบื้องต้นที่สอดคล้องกับข้อมูลที่มีอยู่เท่านั้น



รูปที่ 6.1 กราฟแสดงอัตราการเติบโตของรอยร้าวเนื่องจากความล้าของวัสดุ AISI 4140 ณ span ระหว่างทดสอบ อัตราส่วนภาระเท่ากับ 0.5 และภาระสูงสุดเท่ากับ 1.600 ตัน (1.200 ± 0.400 ตัน)

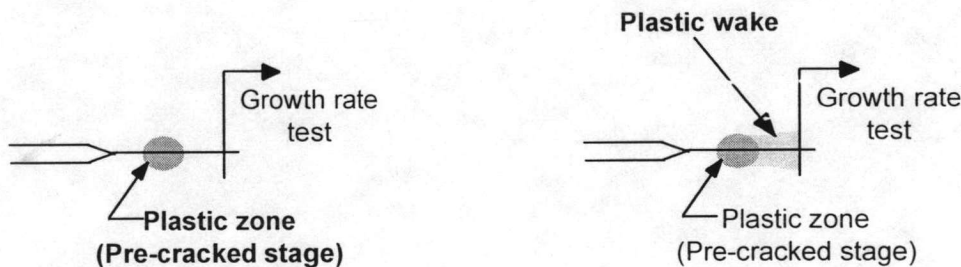
1. สภาวะของภาระทดสอบ 1.200 ± 0.400 ตัน

ณ สภาวะทดสอบนี้พบว่าพฤติกรรมการเดินโดดของรอยร้าวในบริเวณใกล้ขีดเริ่มที่ได้จากการทดสอบชิ้นงานทดสอบชิ้นที่ 1 และชิ้นที่ 2 มีความแตกต่างกัน(รูปที่ 6.1) และโดยอาศัยแนวโน้มของจุดข้อมูลที่มีสามารถบอกได้อย่างคร่าว ๆ ว่าชิ้นงานทดสอบชิ้นที่ 1 มีแนวโน้มที่จะมีค่า ΔK_{th} สูงกว่าชิ้นงานทดสอบชิ้นที่ 2

พิจารณารูปที่ 6.1 ในช่วง ΔK ตั้งแต่ $9.5-13 \text{ MPa}\sqrt{\text{m}}$ พบว่าที่ตำแหน่ง ΔK เดียวกัน อัตราการเดินโดดของรอยร้าวในชิ้นงานทดสอบชิ้นที่ 2 จะสูงกว่าในชิ้นที่ 1 เสมอ แสดงว่าต้องมีกลไกบางอย่างที่บันทอนระดับความรุนแรงหน้าปลายรอยร้าวของชิ้นงานทดสอบชิ้นที่ 1 ให้ลดต่ำลง ตามความเห็นของผู้วิจัยปรากฏการณ์ดังกล่าวอาจมีสาเหตุมาจาก

1.1 การเกิดการหน่วงเนื่องจากบริเวณเสียรูปแบบพลาสติกที่ตำแหน่งสุดท้ายของการสร้างรอยร้าวก่อนหน้า(รูปที่ 6.2) ส่งผลกระทบต่อพฤติกรรมการเดินโดดของรอยร้าวในขณะทำการทดสอบหาอัตราการเดินโดดของรอยร้าว

1.2 การเกิดการหน่วงเนื่องจาก plastic wake ที่เกิดขึ้นตลอดความยาวรอยร้าว ตั้งแต่จุดสิ้นสุดของการสร้างรอยร้าวก่อนหน้าถึงจุดเริ่มต้นการทดสอบหาอัตราการเดินโดดของรอยร้าว(รูปที่ 6.3) ส่งผลกระทบต่อพฤติกรรมการเดินโดดของรอยร้าวในขณะทำการทดสอบหาอัตราการเดินโดดของรอยร้าว



รูปที่ 6.2 แสดงบริเวณเสียรูปแบบพลาสติกที่จุดสิ้นสุดการสร้างรอยร้าวก่อนหน้า

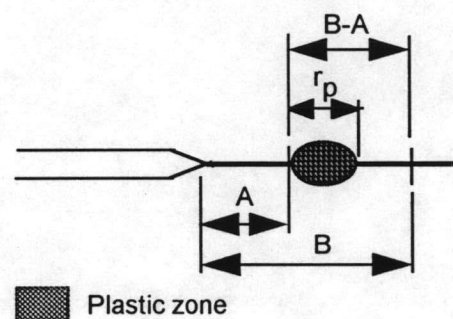
รูปที่ 6.3 แสดง Plastic wake ที่เกิดขึ้นล้อมรอบรอยร้าว

สำหรับการตรวจสอบผลกระทบเนื่องจากกลไกในข้อ 1.1 ว่าอยู่ในระดับใดนั้นสามารถทำได้โดยพิจารณาจากค่าอัตราส่วนของความยาวรอยร้าวระหว่างจุดสุดท้ายของการสร้างรอยร้าวก่อนหน้าและจุดเริ่มต้นของการทดสอบหาอัตราการเดินโดด ต่อขนาดของบริเวณเสียรูปแบบพลาสติก หากอัตราส่วนดังกล่าวมีค่ามากผลกระทบจะน้อย และในทางตรงกันข้ามหากมีค่าน้อยผลกระทบจะมาก Taylor (1989) กล่าวว่าหากอัตราส่วนดังกล่าวมีค่ามากกว่า 4



แล้วจะถือว่า loading history ไม่มีผลต่ออัตราการเดบໂトイของรอยร้าวที่ห่างจากจุดนั้นเป็นระยะ 4 เท่าของขนาดบริเวณเสียรูปแบบพลาสติกภายในได้สภาวะความเค้นแบบความเค้นระนาบ

ถ้ากำหนดให้ A และ B แทนความยาวรอยร้าว ณ ตำแหน่งจุดสุดท้ายของการสร้างรอยร้าวก่อนหน้า และความยาวรอยร้าว ณ ตำแหน่งเริ่มต้นการทดสอบหาอัตราการเดบໂトイของรอยร้าว(รูปที่ 6.4) และอัตราส่วนดังกล่าวคือ $(B-A)/r_p$ สำหรับค่าของ A, B, ภาระสูงสุด, ขนาดของบริเวณเสียรูปแบบพลาสติก และค่าของ $(B-A)/r_p$ ณ ตำแหน่งความยาวรอยร้าวยาวเท่ากับ A และ B ของขั้นตอนทดสอบชั้นที่ 1 และ 2 นั้นแสดงอยู่ในตารางที่ 6.1, 6.2 และ 6.3 ตามลำดับ



รูปที่ 6.4 แสดงความหมายของจุด A,B และระยะที่ใช้สำหรับคำนวณเพื่อเปรียบเทียบผลของบริเวณเสียรูปแบบพลาสติก

ตารางที่ 6.1 แสดงความยาวรอยร้าวในตำแหน่งสุดท้ายของการสร้างรอยร้าวก่อนหน้า A และความยาวรอยร้าว ณ ตำแหน่งเริ่มต้นการทดสอบอัตราการเดบໂトイของรอยร้าว B ในขั้นตอนทดสอบชั้นที่ 1 และ 2 ณ สภาวะทดสอบคือ 1.200 ± 0.400 ตัน

ชั้นที่	จุด A(มม.)			จุด B(มม.)		
	ซ้าย	ขวา	เฉลี่ย	ซ้าย	ขวา	เฉลี่ย
1	6.82	10.40	8.61	6.82	11.35	9.09
2	3.78	3.85	3.82	4.16	3.85	4.00

ตารางที่ 6.2 แสดงภาระสูงสุด และขนาดของบริเวณเสียรูปแบบพลาสติกที่จุด A และ B

ชิ้นที่	A				B			
	ภาระสูงสุด (ตัน)	r_p (มม.) ⁿ			ภาระสูงสุด (ตัน)	r_p (มม.) ⁿ		
		ซ้าย	(ตัน)	เฉลี่ย		ซ้าย	ขวา	เฉลี่ย
1	1.800	0.08	0.11	0.09	1.600	0.06	0.10	0.08
2	2.000	0.07	0.07	0.07	1.600	0.05	0.05	0.05

ⁿ คำนวณโดยใช้สมการที่ 2.22

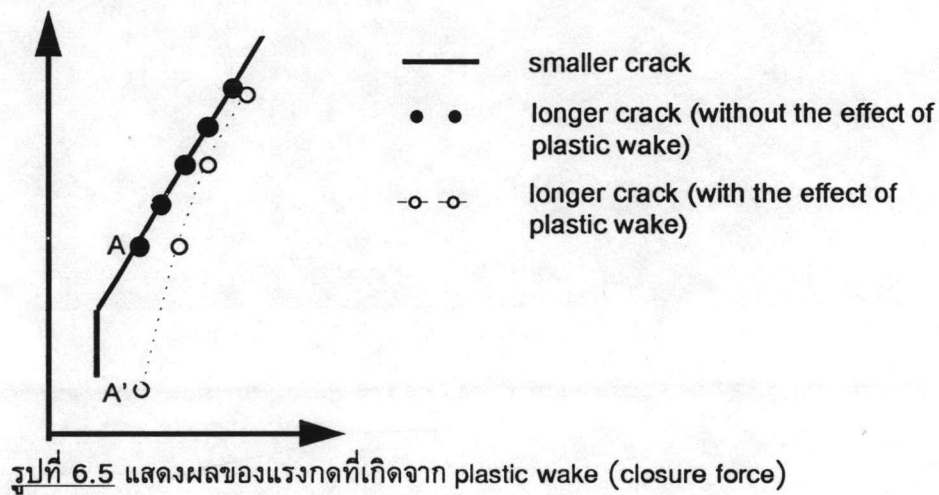
ตารางที่ 6.3 แสดงค่าอัตราส่วนของระยะทางระหว่างตำแหน่งสูดท้ายของการสร้างรอยร้าว ก่อนหน้า และตำแหน่งแรกของการทดสอบหาอัตราการเติบโตของรอยร้าว กับ ขนาดของบริเวณเสียรูปแบบพลาสติก

ชิ้นที่	$(B-A)/r_p$ (มม.)		
	ซ้าย	ขวา	เฉลี่ย
1	0.00	8.56	5.11
2	5.43	0.00	2.71

จากผลที่ได้ (ตารางที่ 6.3) พบว่าบริเวณเสียรูปแบบพลาสติกที่เกิดจากการสร้างรอยร้าว ก่อนหน้าในชิ้นงานทดสอบชิ้นที่ 1 ไม่ได้ส่งผลกระทบต่อพฤติกรรมการเติบโตของรอยร้าวที่ทำการทดสอบต่อมาก ในขณะที่ชิ้นงานทดสอบชิ้นที่ 2 ได้รับผลกระทบดังกล่าว แต่อย่างไร ก็ดี ΔK_{th} ของชิ้นงานทดสอบชิ้นที่ 2 ซึ่งถือว่าถูกหน่วงกังคังมีค่าต่ำกว่า ทำให้สามารถสรุปได้ว่า การหน่วงเนื่องจากบริเวณเสียรูปแบบพลาสติกที่เกิดขึ้นตอนท้ายสุดของการสร้างรอยร้าว ก่อนหน้าจึงมิใช่สาเหตุหลักที่ทำให้ ΔK_{th} ของชิ้นงานทดสอบชิ้นที่ 1 มีค่ามากกว่า ΔK_{th} ของชิ้นงานทดสอบชิ้นที่ 2

ก่อนที่จะนำสาเหตุในข้อ 1.2 “ไปใช้อธิบายปรากฏการณ์ที่เกิดขึ้น ผู้วิจัยจะขอ กล่าวถึงผลกระทบของสาเหตุนี้เสียก่อน Shih และ Wei (1973) ได้อธิบายถึงผลของ plastic wake ไว้ว่า plastic wake จะบีบอัดให้ผิวน้ำของรอยร้าวปิดเข้าหากัน (crack closure) ด้วยแรง กดค่าหนึ่ง ทำให้ภาระภายนอกที่มีกระทำต้องເเอกสาระแรงกดดังกล่าวนี้ก่อนที่จะไปสร้างความ เสียหายที่ปลายรอยร้าวต่อไปได้ สำหรับลักษณะของรูปกราฟที่ 6.1 นั้นสามารถอธิบายโดยใช้ กลไกนี้ได้ว่า การเริ่มต้นทดสอบที่ความยาวรอยร้าวสั้น ๆ (ซึ่งไม่ขัดกับเงื่อนไขของ LEFM) จะ ให้จุดข้อมูลเริ่มตั้งแต่ ΔK ค่าน้อย ๆ ซึ่ง ณ จุดนี้การปรับพฤติกรรมการเติบโตจากที่อยู่ใน

บริเวณใกล้ชิดเริ่มเข้าสู่บริเวณเดิบโดยย่างเสถียรจะเป็นไปได้อย่างรวดเร็ว(รูปที่ 6.5 เส้นขีดเต็ม)เนื่องจากแรงกดจาก plastic wake มีน้อย หรืออาจไม่มีเลย แต่ในการณ์ที่เริ่มทดสอบที่ความยาวอยร้าวยาวกว่า เราจะได้ข้อมูล ณ ตำแหน่งที่มีค่า ΔK เริ่มต้นมากกว่า ประกอบกับแรงกดมีค่ามากทำให้จุดข้อมูลที่ได้มีค่า da/dN ลดต่ำลง ยกตัวอย่างเช่นจากรูปที่ 6.5 หาก closure force มีขนาดไม่มาก และแม้จะเริ่มทดสอบที่ค่าเริ่มต้น ΔK สูงกว่าการณ์แรก(เส้นขีดเต็ม)ก็ตามค่า da/dN ที่ได้ก็จะอยู่บนเส้นตรงเส้นเดิม(จุด A) แต่ถ้าหาก closure force มีค่ามาก ที่ตำแหน่ง ΔK เดียวกันกับจุด A ค่า da/dN ที่เกิดขึ้นจะเหมือนกับว่าจุด A นั้นเลื่อนต่ำลงไปอยู่ที่จุด A' แทน(เส้นประที่มีวงกลมกลวง) ถัดจากนั้นรอยร้าวจะปรับพฤติกรรมการเดิบโดยให้ลุ่เข้าสู่บริเวณการเดิบโดยย่างเสถียร และในที่สุดก็จะมีจุดข้อมูลร่วมกับการณ์แรก(เส้นขีดเต็ม)



รูปที่ 6.5 แสดงผลของแรงกดที่เกิดจาก plastic wake (closure force)

ตัวอย่างข้อมูลจากการทดสอบที่สนับสนุนพฤติกรรมดังกล่าวแสดงอยู่ในตารางที่ 6.4 จากตารางนี้จะเห็นว่าที่ค่า ΔK เดียวกันชิ้นงานชิ้นที่ 1 มีอัตราการเดิบโดยรอยร้าวต่ำกว่าชิ้นงานชิ้นที่ 2 อย่างชัดเจน

ตารางที่ 6.4 แสดงอัตราการเดิบโดยรอยร้าวในชิ้นงานทดสอบชิ้นที่ 1 และ 2 ณ ตำแหน่ง ΔK เท่ากับ $9.41 \text{ MPa}\sqrt{\text{m}}$

ชิ้นทดสอบ ชิ้นที่	ความยาวอยร้าว, mm.	$da/dN(\text{มม./รอบ})$
1	$9.09(9.41)^*$	1.2×10^{-6}
2	$9.13(9.43)^*$	9.0×10^{-6}

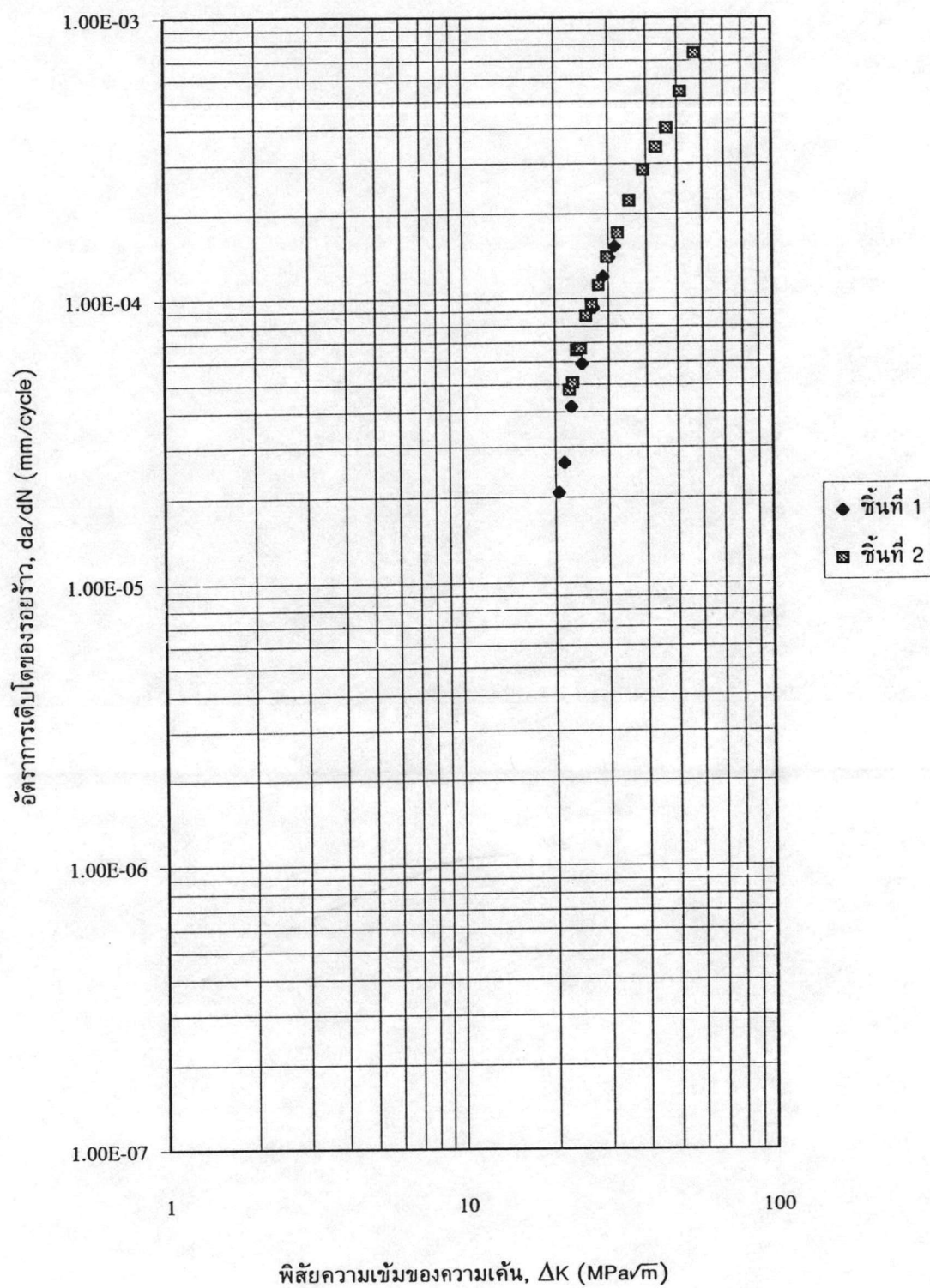
* ตัวเลขในวงเล็บแสดงค่าพิสัยความเข้มของความเค้น ณ ความยาวอยร้าวนี้ ๆ

2. สภาวะของภาระทดสอบ 2.166 ± 1.167 ตัน

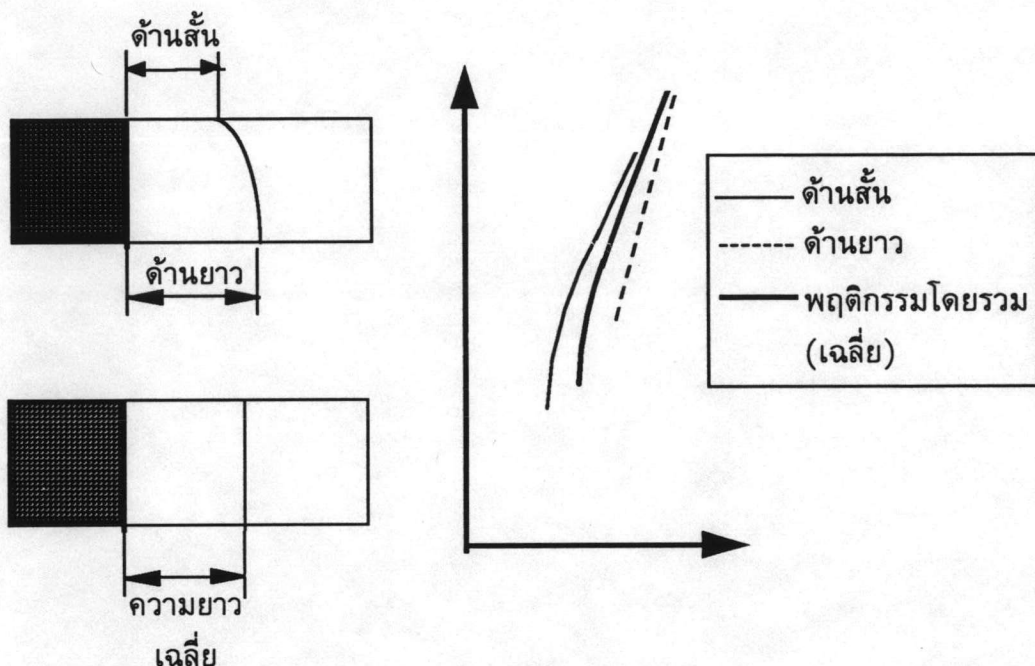
ณ สภาวะทดสอบนี้ พฤติกรรมการเดบໂตของรอยร้าวของชิ้นงานทดสอบชิ้นที่ 1 ในช่วงเริ่มต้นมีลักษณะโค้งคล้ายกับมีบริเวณใกล้ขีดเริ่ม อ่านค่า ΔK_{th} ได้ประมาณ $20 \text{ MPa}\sqrt{\text{m}}$ (รูปที่ 6.6) แต่จากการวิจัยของ London(1988) พบว่าค่า ΔK_{th} ของวัสดุ AISI 4140 ที่ผ่านกระบวนการอบคืนตัว(tempering) ณ อุณหภูมิต่าง ๆ กันในช่วง $200-700^\circ\text{C}$ ทดสอบที่อัตราส่วนภาระเท่ากับ 0.05 และชิ้นงานมีการวางแผนตัวในทิศทางแบบเดียวกับของงานวิจัยนี้ จะมีค่าอยู่ในช่วงตั้งแต่ $2.8-9.5 \text{ MPa}\sqrt{\text{m}}$ นอกจากนี้โดยทั่วไปแล้วเมื่ออัตราส่วนภาระมีค่าเพิ่มขึ้นค่า ΔK_{th} จะมีแนวโน้มลดลงไปอีก(Kujawski, and Ellyin 1987) จึงสนับสนุนให้เห็นอย่างชัดเจนว่า ลักษณะการโค้งดังกล่าวมิได้นำไปสู่ค่า ΔK_{th} ที่แท้จริง ณ ค่าอัตราส่วนภาระนั้น ๆ

ตามความเห็นของผู้วิจัย สาเหตุของการเกิดพฤติกรรมดังกล่าวนั้นอาจเป็นผลมาจากการมีความยาวรอยร้าวที่ผิวทั้งสองของชิ้นงานแตกต่างกันมาก และด้านที่มีความยาวรอยร้าวเริ่มต้นสั้นกว่ามีความยาวรอยร้าวน้อยมาก เพราะการที่ความยาวของรอยร้าวที่ผิวทั้งสองมีความแตกต่างกันมาก จะทำให้เกิดการสมดسانของพฤติกรรมการเดบໂตของรอยร้าวด้านที่มีความยาวน้อยกว่า กับด้านที่มีความยาวมากกว่า แต่เนื่องจากด้านที่มีความยาวรอยร้าวน้อยกว่าจะมีแนวโน้มได้จุดข้อมูลที่ตกอยู่ในบริเวณใกล้ขีดเริ่ม(เพราะค่า ΔK ในขณะนั้นมีค่าน้อย และอาจมีการหน่วงเกิดขึ้นหากความยาวรอยร้าวมีค่าน้อยเมื่อเปรียบเทียบกับขนาดของบริเวณเสียรูปแบบพลาสติก) เมื่อรวมกับพฤติกรรมการเดบໂตในด้านที่มีความยาวรอยร้าวมากกว่า(ซึ่งอาจจะไม่ปรากฏจุดข้อมูลในบริเวณใกล้ขีดเริ่มก็ได้) ก็จะได้จุดข้อมูลที่มีแนวโน้มตกอยู่ในบริเวณใกล้ขีดเริ่มเช่นกัน กล่าวอีกนัยหนึ่งก็คือพฤติกรรมการเดบໂตของรอยร้าวด้านที่สั้นได้โน้มนำให้พฤติกรรมการเดบໂตโดยรวมเปลี่ยนไป (รูปที่ 6.7)

เพื่อแสดงความเป็นไปได้ของเหตุผลข้างต้น ข้อมูลของชิ้นงานทดสอบชิ้นที่ 1 (ตารางที่ ข.2) ได้ถูกนำมาสร้างกราฟอัตราการเดบໂตของรอยร้าวโดยแบ่งการพิจารณาออกเป็น 3 ส่วนคือ ด้านที่รอยร้าวมีความยาวเริ่มต้นสั้นกว่า(0.47 mm.) ด้านที่รอยร้าวมีความยาวเริ่มต้นมากกว่า(5.58 mm.) และพฤติกรรมโดยรวม ก่อนจะนำไปพล็อตบนแกนเดียวกันเพื่อให้สะดวกต่อการเปรียบเทียบ(รูปที่ 6.8) จากกราฟจะเห็นว่าพฤติกรรมการเดบໂตของรอยร้าวใน



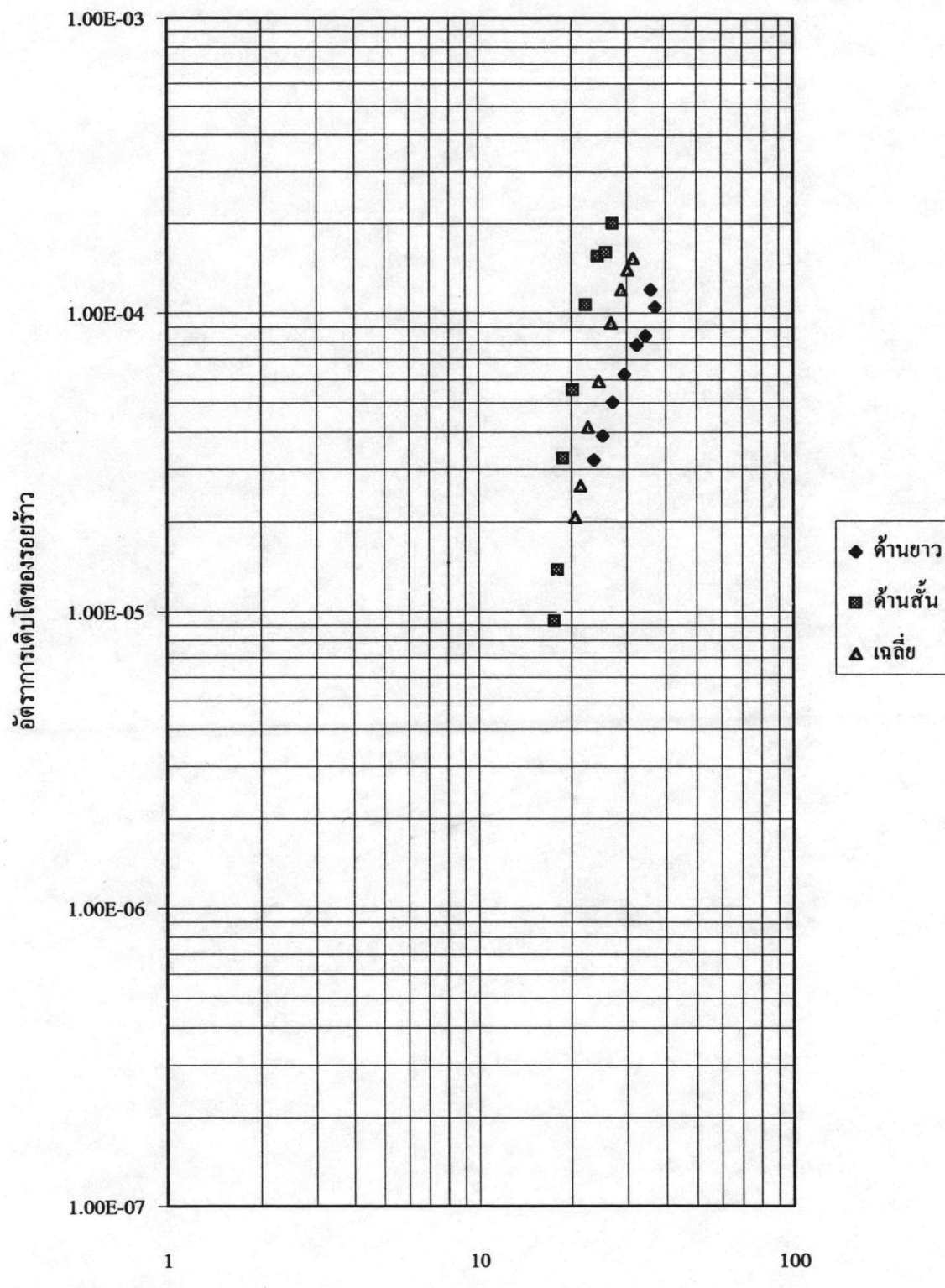
รูปที่ 6.6 ภาพแสดงอัตราการเติบโตของรอยร้าวเนื่องจากความล้าของวัสดุ AISI 4140
ณ สภาวะทดสอบ อัตราส่วนภาระเท่ากับ 0.3 และภาระสูงสุดเท่ากับ 3.333 ตัน
(2.166 ± 1.167 ตัน)



รูปที่ 6.7 แสดงผลของความแตกต่างของความเยารอยร้าวที่ผิวทั้งสองด้านความเปลี่ยนแปลงของพฤติกรรมการเดิน โดยของรอยร้าวโดยรวมในบริเวณใกล้ขีดเริ่ม

ด้านที่รอยร้าวมีความเยาว์เริ่มต้นมากกว่าจะมีแนวโน้มเป็นเส้นตรง ขณะที่พฤติกรรมการเดินโดยของรอยร้าวในด้านที่รอยร้าวมีความเยาว์เริ่มต้นน้อยกว่าจะมีลักษณะโค้ง ซึ่งผู้วิจัยคิดว่าความโค้งนี้อาจเกิดขึ้นเนื่องจากผลของบริเวณเสียรูปแบบพลาสติกที่มีขนาดใหญ่เมื่อเปรียบเทียบกับความเยารอยร้าว จากการคำนวณโดยใช้สมการ 2.22 พนวณขนาดของบริเวณเสียรูปแบบพลาสติกคือ 0.13 มม. ดังนั้นรอยร้าวจึงมีความเยาว์เพียง $3.6r_p$ เท่านั้น (ปกติความเยารอยร้าวที่ทำให้เงื่อนไขของ LEFM เป็นจริงจะหาได้จากสมการที่ 2.27 ซึ่งมีค่าประมาณ $10r_p$) และท้ายสุดเมื่อพิจารณาพฤติกรรมโดยรวมก็จะเห็นว่ามีลักษณะแนวโน้มเป็นเส้นตรงที่สูงเข้าสู่ค่าขีดเริ่มค่อนข้างดังที่ได้กล่าวไว้แล้วในตอนต้น

จากการทดสอบที่ได้นี้ ผู้วิจัยคิดว่าเงื่อนไขในการสร้างรอยร้าวก่อนหน้าที่ ASTM กำหนดว่าความเยารอยร้าวเฉลี่ยต้องมากกว่า 3 มม. นั้นอาจไม่เพียงพอ อาจจะต้องระบุเพิ่มลงไปอีกว่ารอยร้าวทั้งสองด้านต้องมีขนาดใหญ่เมื่อเทียบกับบริเวณเสียรูปแบบพลาสติก และมีความเยาว์ไม่แตกต่างกันมากด้วย

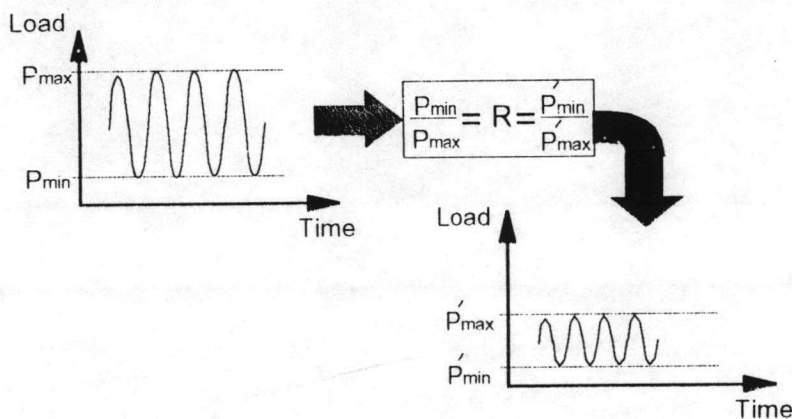




ผลของภาระสูงสุด

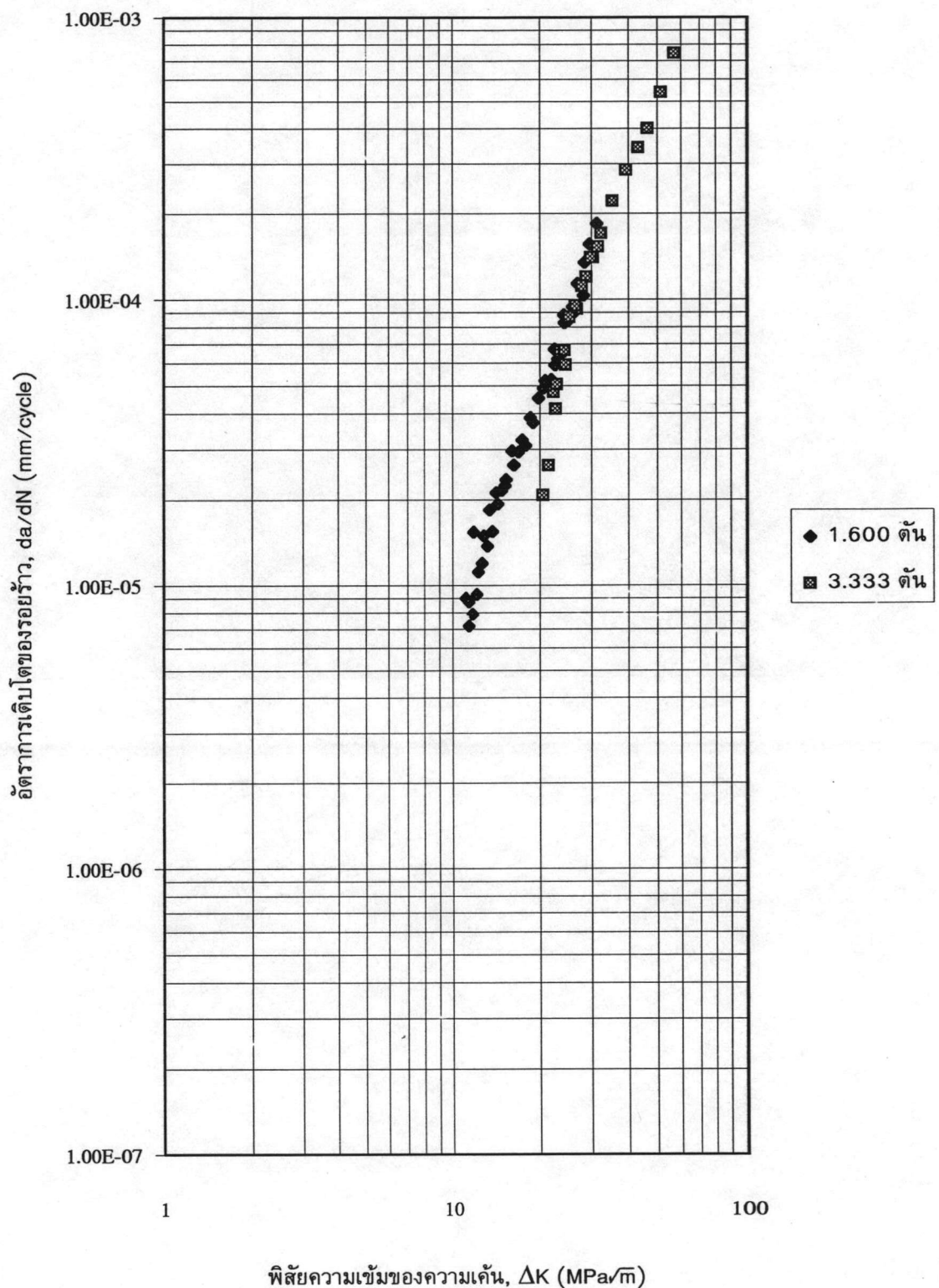
จากการเปรียบเทียบอัตราการเดินโดยของรอยร้าวที่ขึ้นดาดของภาระสูงสุดต่าง ๆ กัน (รูปที่ 6.10-6.13) พบว่า ณ อัตราส่วนภาระหนึ่ง ๆ ตั้งแต่ 0.3 ถึง 0.8 อัตราการเดินโดยของรอยร้าวนี้อยู่จากความล้าสำหรับวัสดุ AISI 4140 ภายใต้ขึ้นดาดของภาระทดสอบสูงสุดต่าง ๆ กันที่อัตราส่วนภาระค่าหนึ่งในช่วง 0.3 ถึง 0.8 นั้นไม่แตกต่างกัน

ผลดังกล่าวแสดงให้เห็นว่าสามารถกำหนดพารามิเตอร์ไว้หน่วยอัตราส่วนภาระแทน การกำหนดภาระเฉลี่ย และแอมป์ลิจูดภาระได้ หรือกล่าวอีกนัยหนึ่งก็คือสามารถใช้อัตราส่วนภาระเป็นพารามิเตอร์ในการจำลองสภาวะของภาระที่เกิดขึ้นจริงในชิ้นส่วนโครงสร้างมายังสภาวะของภาระทดสอบที่กระทำกับชิ้นงานทดสอบได้ (รูปที่ 6.9)

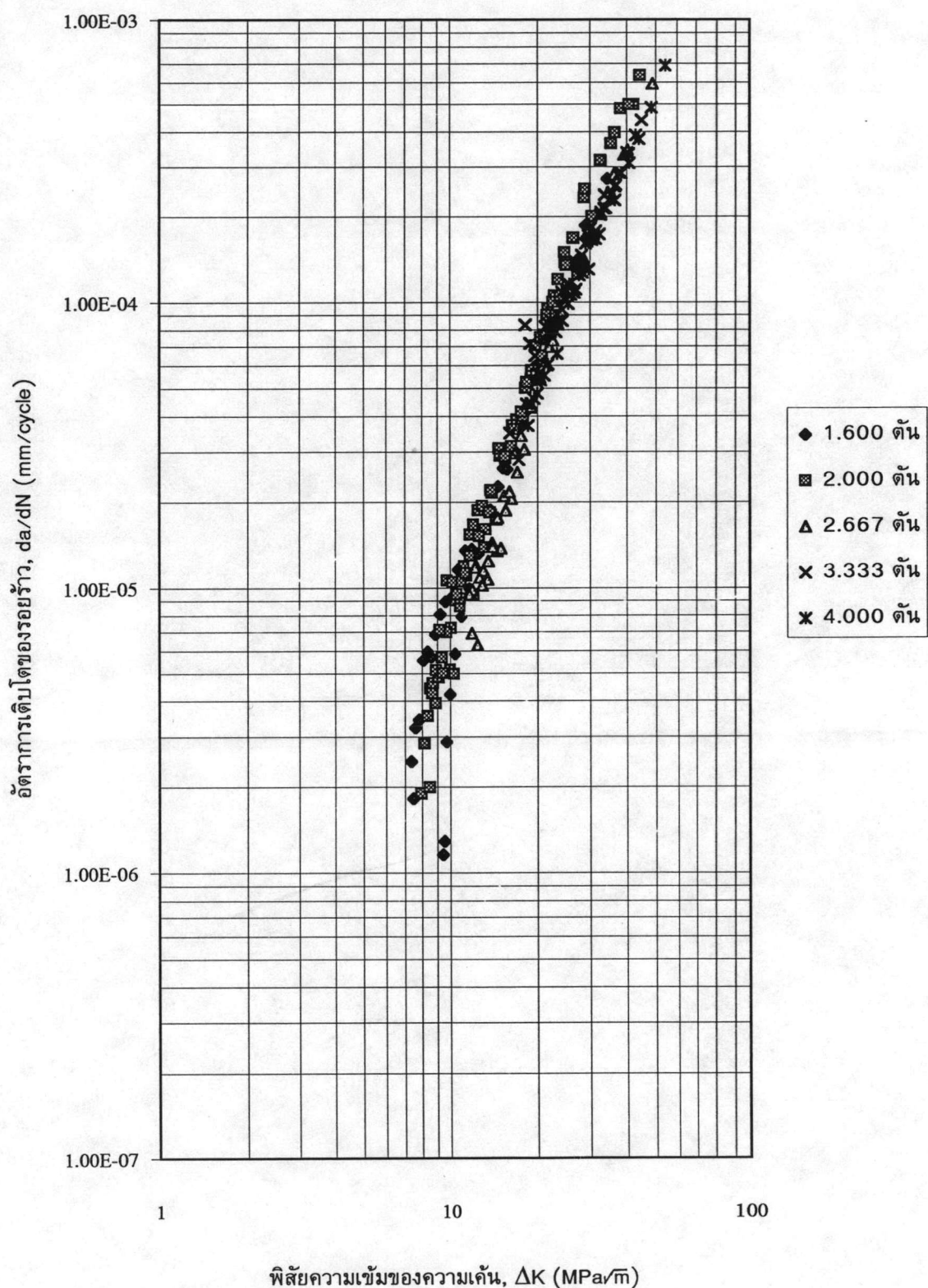


รูปที่ 6.9 แสดงขั้นตอนการใช้พารามิเตอร์ไว้หน่วยอัตราส่วนภาระในการจำลองสภาวะของภาระที่เกิดขึ้นจริงในชิ้นส่วนโครงสร้างมายังสภาวะของภาระที่กระทำต่อชิ้นงานทดสอบ

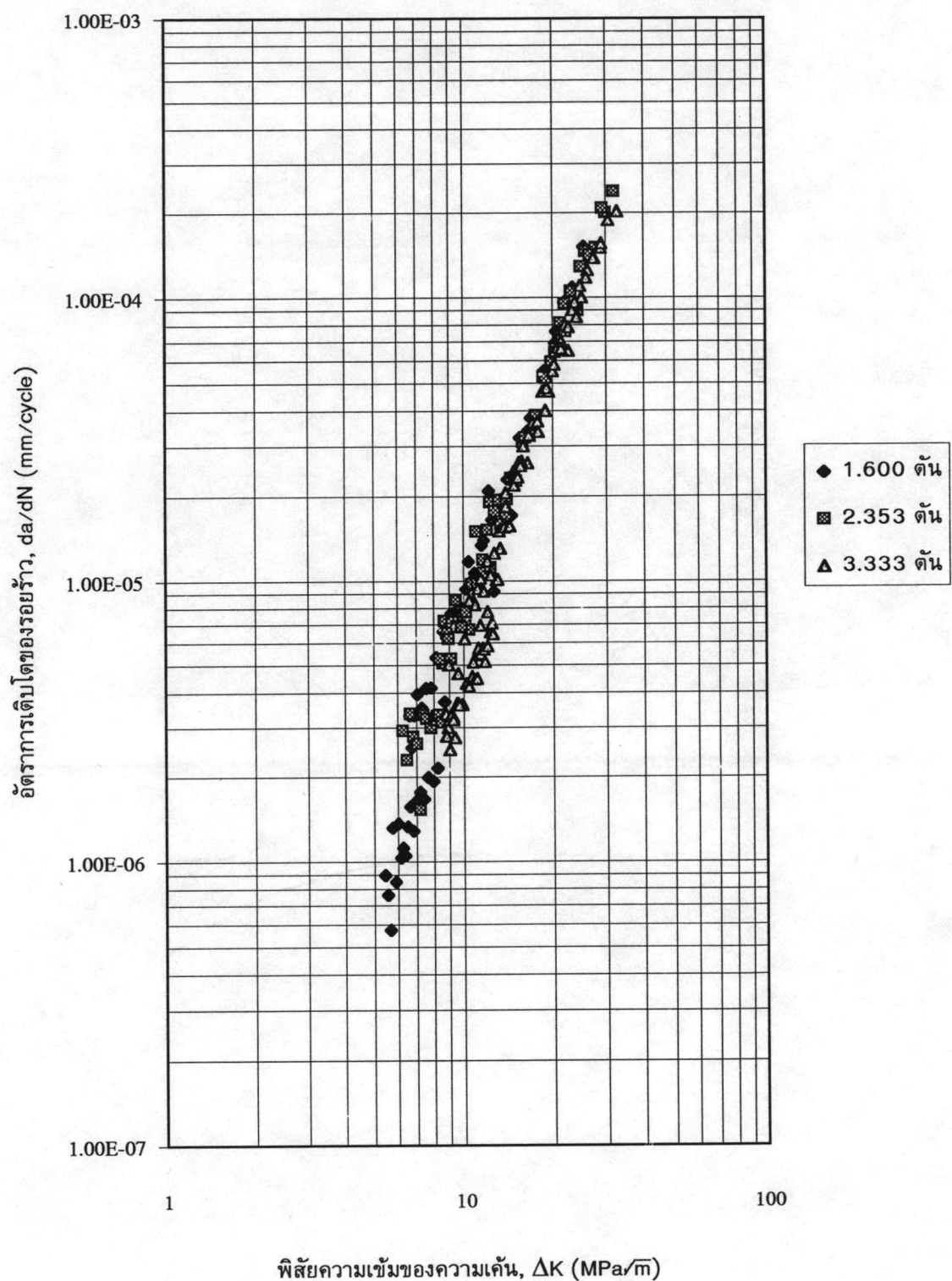
นอกจากนี้ยังเกิดผลดีในเชิงการทดสอบคือ สามารถกำหนดสภาวะของภาระทดสอบให้มีความเหมาะสมกับขั้นความสามารถของเครื่องทดสอบ, ขนาดของชิ้นงานทดสอบ, เกิดบริเวณเสียรูปแบบพลาสติกมีขั้นดาดเล็กเมื่อเปรียบเทียบกับมิติของชิ้นงานทดสอบ(ทำให้สามารถประยุกต์แนวทางของกลศาสตร์การแตกหักยืดหยุ่นเชิงเส้นกับปัญหาได้) และสามารถกำหนดข้อมูลบนเส้นໄส์อัตราการเดินโดยของรอยร้าวที่จะให้มีจุดข้อมูลไปปรากฏได้ ยกตัวอย่างเช่น หากต้องการจุดข้อมูลที่ ΔK สูง ๆ ก็สร้างรอยร้าวให้มีความยาวพอสมควร และทดสอบที่ค่าแอมป์ลิจูดภาระสูง ๆ แทนที่จะทดสอบที่แอมป์ลิจูดภาระต่ำ ๆ ความยาวรอยร้าวมาก ๆ เป็นต้น



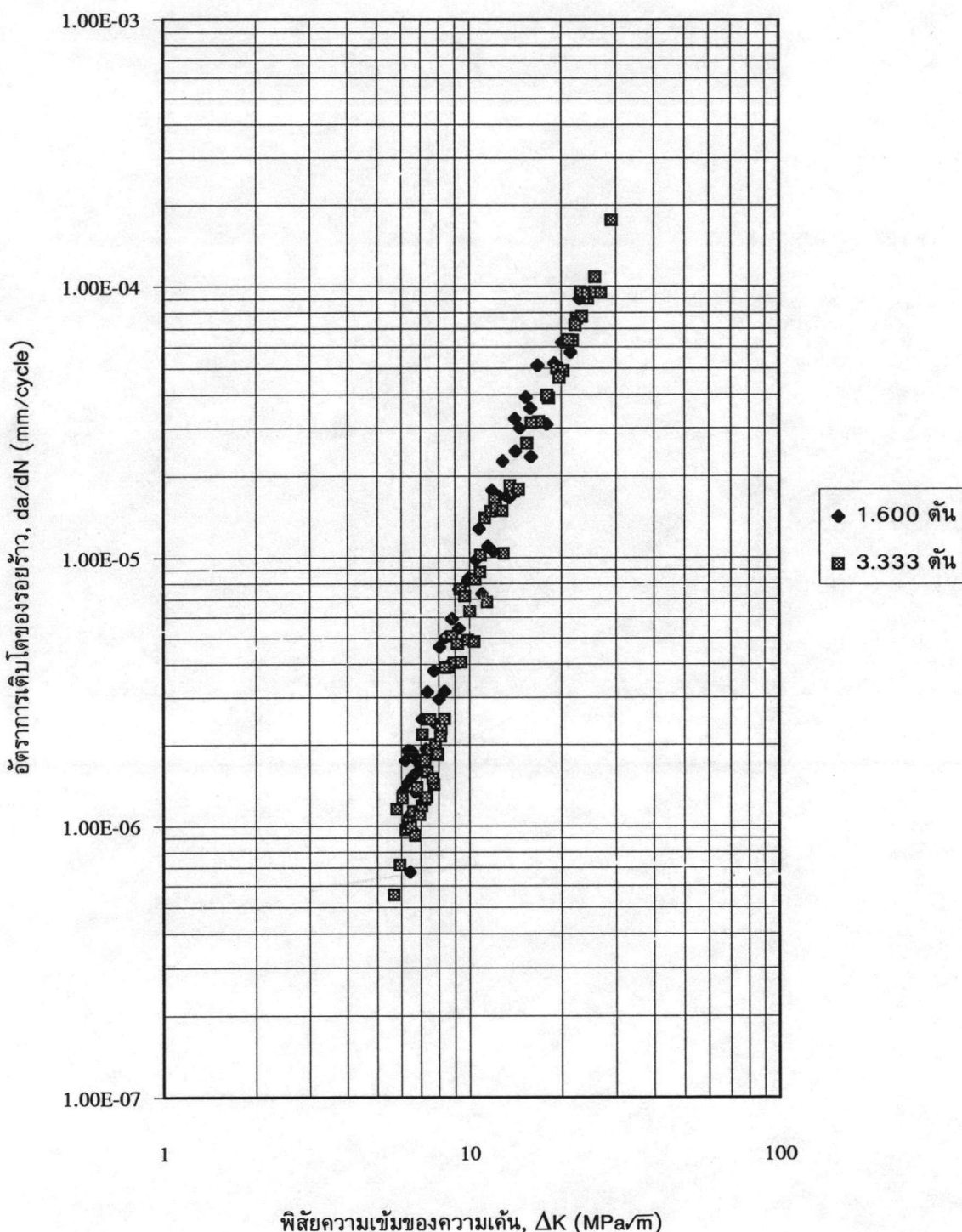
รูปที่ 6.10 กราฟแสดงผลของการสูงสุดที่มีต่ออัตราการเติบโตของรอยร้าวเนื่องจากความล้าของวัสดุ AISI 4140 ที่อัตราส่วนการเท่ากับ 0.3



รูปที่ 6.11 ภาพแสดงผลของการสูงสุดที่มีต่ออัตราการเติบโตของรอยร้าวเนื่องจากความล้าของวัสดุ AISI 4140 ที่อัตราส่วนภาระเท่ากับ 0.5



รูปที่ 6.12 กราฟแสดงผลของการสูงสุดที่มีต่ออัตราการเติบโตของรอยร้าวเนื่องจากความล้าของวัสดุ AISI 4140 ที่อัตราส่วนภาระเท่ากับ 0.7



รูปที่ 6.13 グラฟแสดงผลของการสูงสุดที่มีต่ออัตราการเติบโตของรอยร้าวนึ่งจากความล้าของวัสดุ AISI 4140 ที่อัตราส่วนการเท่ากับ 0.8

ผลของอัตราส่วนการระ

จากผลการทดสอบในช่วงอัตราส่วนการระตั้งแต่ 0.3 ถึง 0.8 ได้แสดงให้เห็นว่าอัตราการเติบโตของรอยร้าวนี้องจากความล้าสำหรับวัสดุ AISI 4140 นั้นไม่ขึ้นกับอัตราส่วนการทั้งจากการทดสอบที่ขนาดของภาระสูงสุดเท่ากับ 1.600 ตัน(รูปที่ 6.14) และที่ขนาดของภาระสูงสุดเท่ากับ 3.333 ตัน(รูปที่ 6.15)

สมการอัตราการเติบโตของรอยร้าว

จากผลการทดสอบที่ว่าพฤติกรรมการเติบโตของรอยร้าวนี้องจากความล้าของวัสดุ AISI 4140 ไม่ขึ้นกับอัตราส่วนการ และภาระสูงสุด ได้นำไปสู่การพล็อตกราฟผลการทดสอบที่สภาวะของภาระทดสอบทั้งหมดรวมกัน(รูปที่ 6.16)เพื่อหาสมการอัตราการเติบโตของรอยร้าวที่แทนจุดข้อมูลทดสอบเหล่านั้น จากกราฟแสดงให้เห็นลักษณะแนวโน้มของข้อมูลเป็นแบบเส้นตรง(บันสเกลล์ล็อก-ล็อก) มีการกระจายของจุดข้อมูลในช่วง $\Delta K = 7-13 \text{ MPa}\sqrt{\text{m}}$ มากกว่าในบริเวณอื่นๆ นอกจานี้ยังไม่ปรากฏจุดข้อมูลอัตราการเติบโตของรอยร้าวที่อยู่ในบริเวณใกล้ชิดเริ่มอย่างชัดเจน ทำให้สมการอัตราการเติบโตของรอยร้าวของปารีสซึ่งเขียนอยู่ในรูปของ $\frac{da}{dN} = C \cdot \Delta K^m$ ถูกเลือกมาเป็นเส้นตรงทดแทน และจากการวิเคราะห์การทดสอบยกกำลังสองน้อยที่สุด(ภาคผนวก ง) จะได้สมการอัตราการเติบโตของรอยร้าวนี้องจากความล้าสำหรับวัสดุ AISI 4140 ดัง

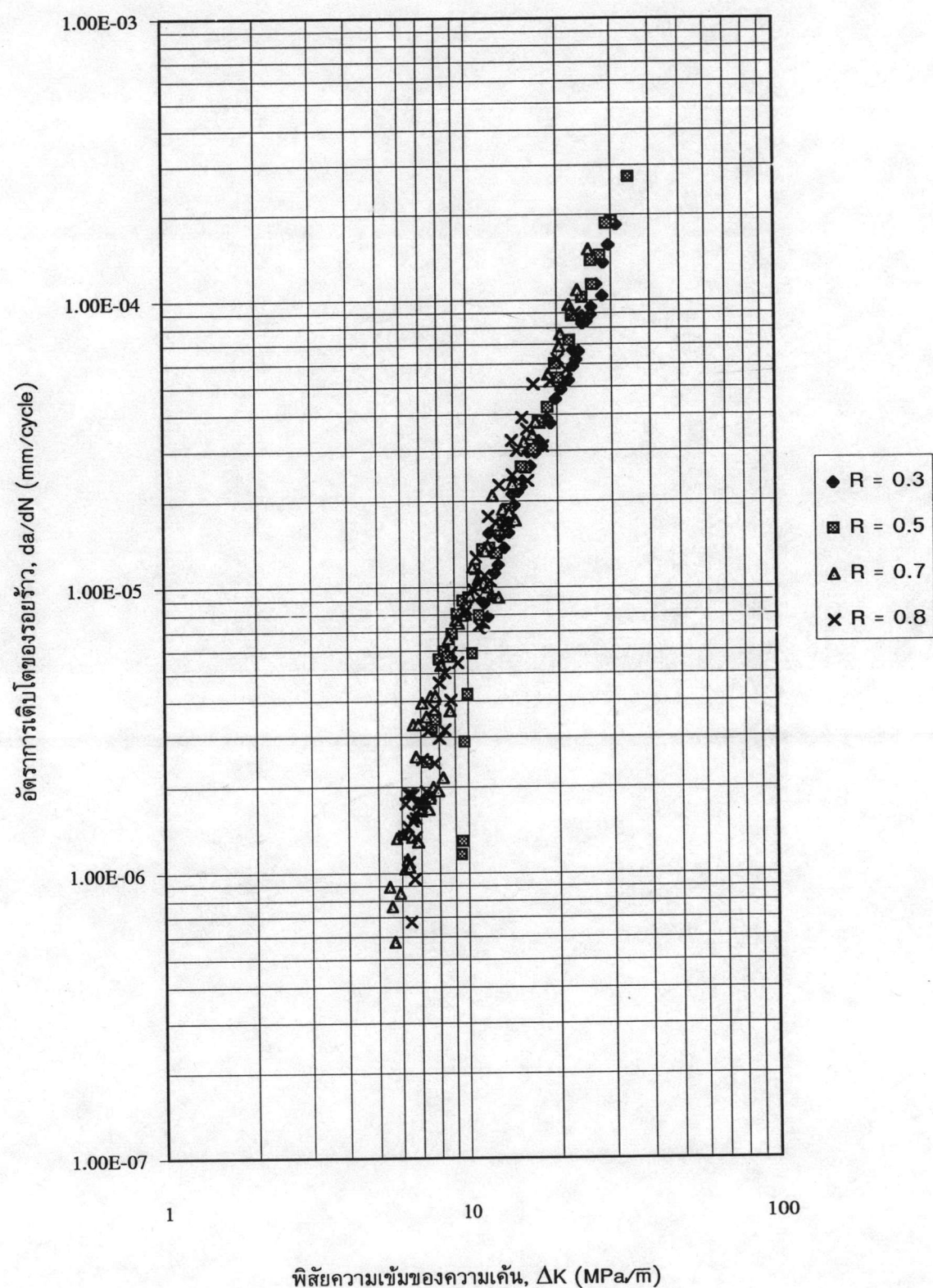
$$\frac{da}{dN} = 5.32 \times 10^{-9} \cdot \Delta K^{3.06} \quad (6.1)$$

โดยมี ค่าสัมประสิทธิ์สหสัมพันธ์(correlation coefficient), r เท่ากับ 0.983 หรือค่าสัมประสิทธิ์ของการบ่งชี้(coefficient of determination), r^2 เท่ากับ 0.966

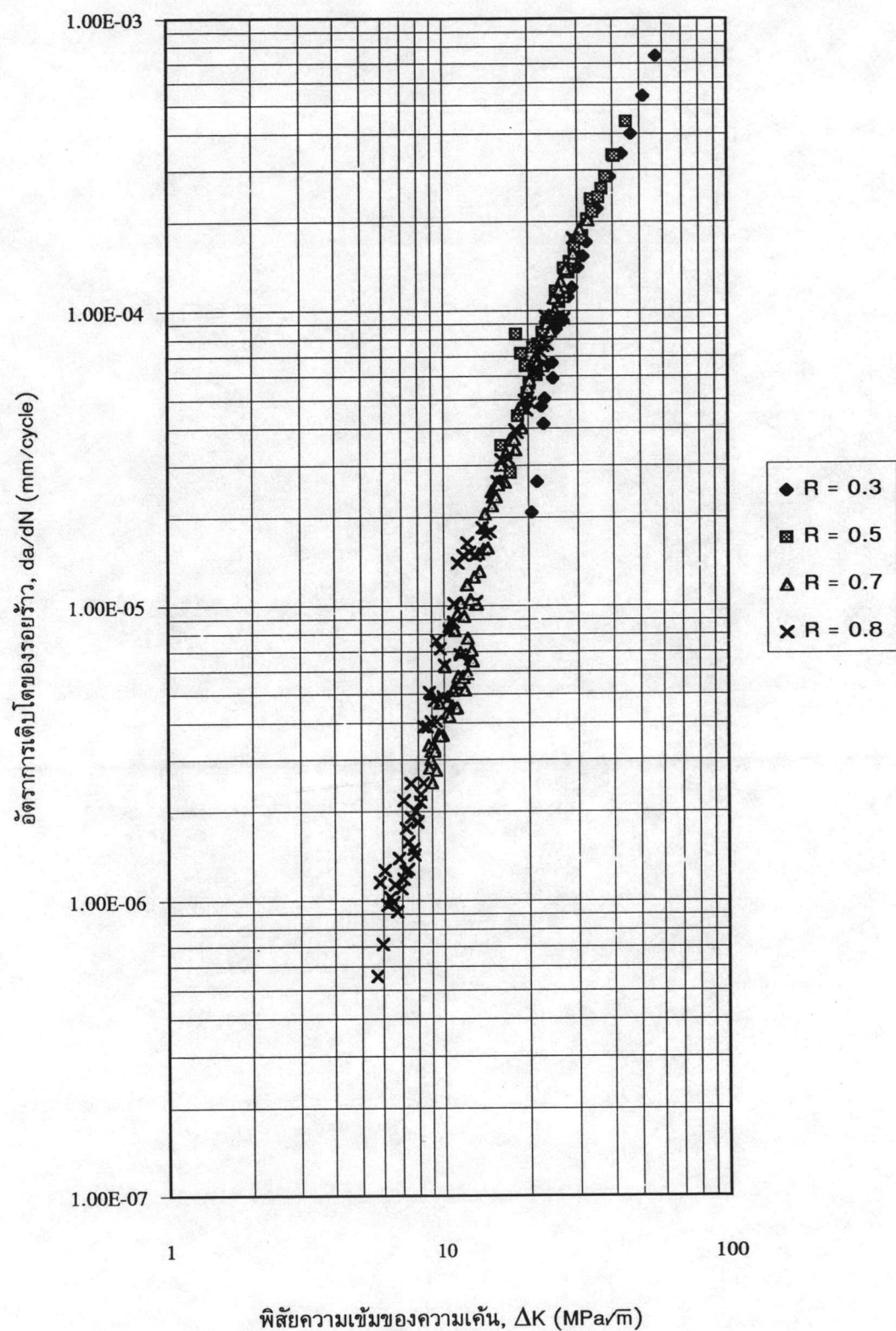
นอกจากนี้โดยการ trial and error พบว่าขอบเขตบน และล่างของจุดข้อมูลอัตราการเติบโตของรอยร้าวสามารถแทนได้ด้วยสมการที่ 6.2 และ 6.3 ตามลำดับ(รูปที่ 6.17)

$$\text{ขอบเขตบน} \quad \frac{da}{dN} = 10 \times 10^{-9} \cdot \Delta K^{3.06} \quad (6.2)$$

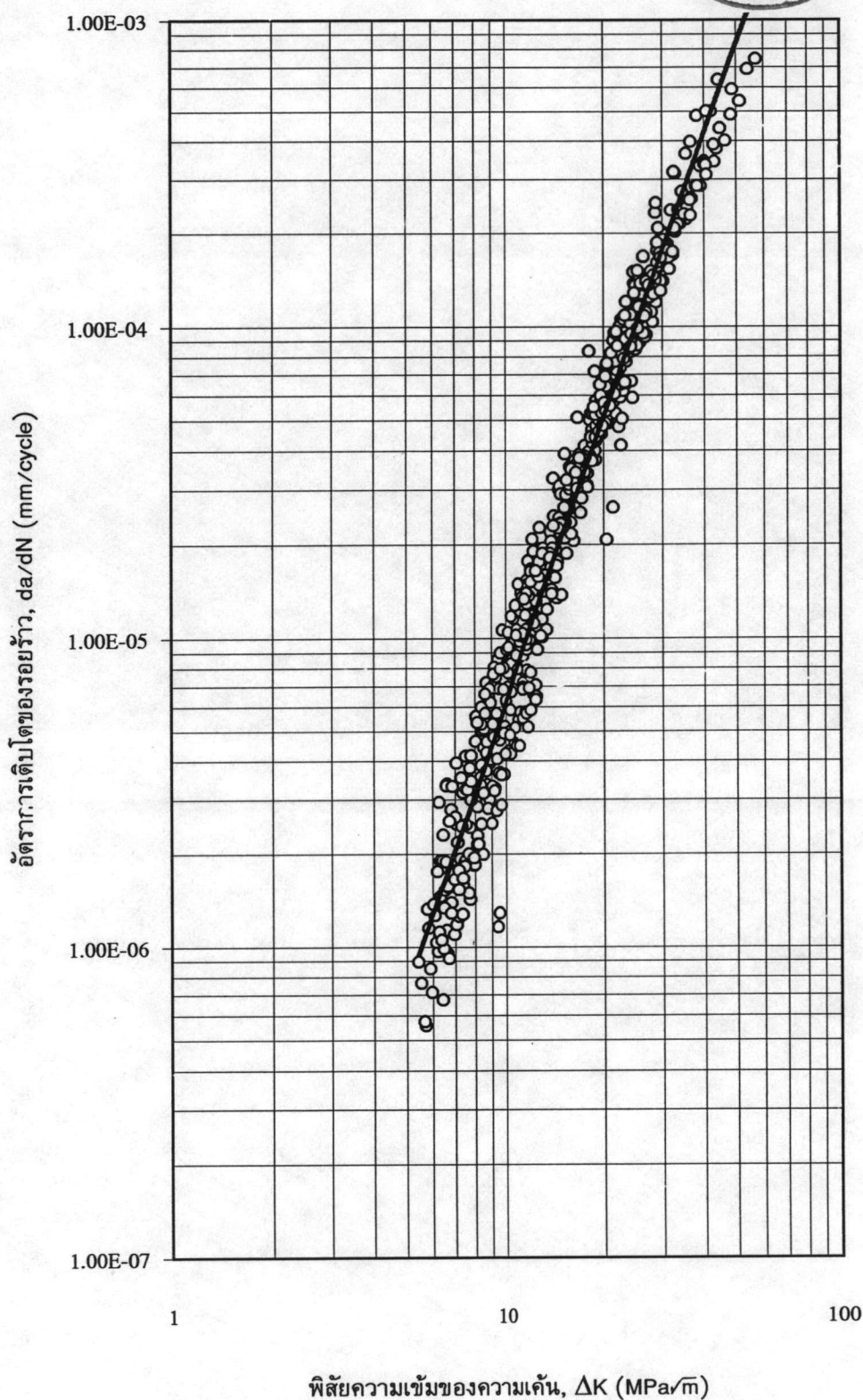
$$\text{ขอบเขตล่าง} \quad \frac{da}{dN} = 2.5 \times 10^{-9} \cdot \Delta K^{3.06} \quad (6.3)$$



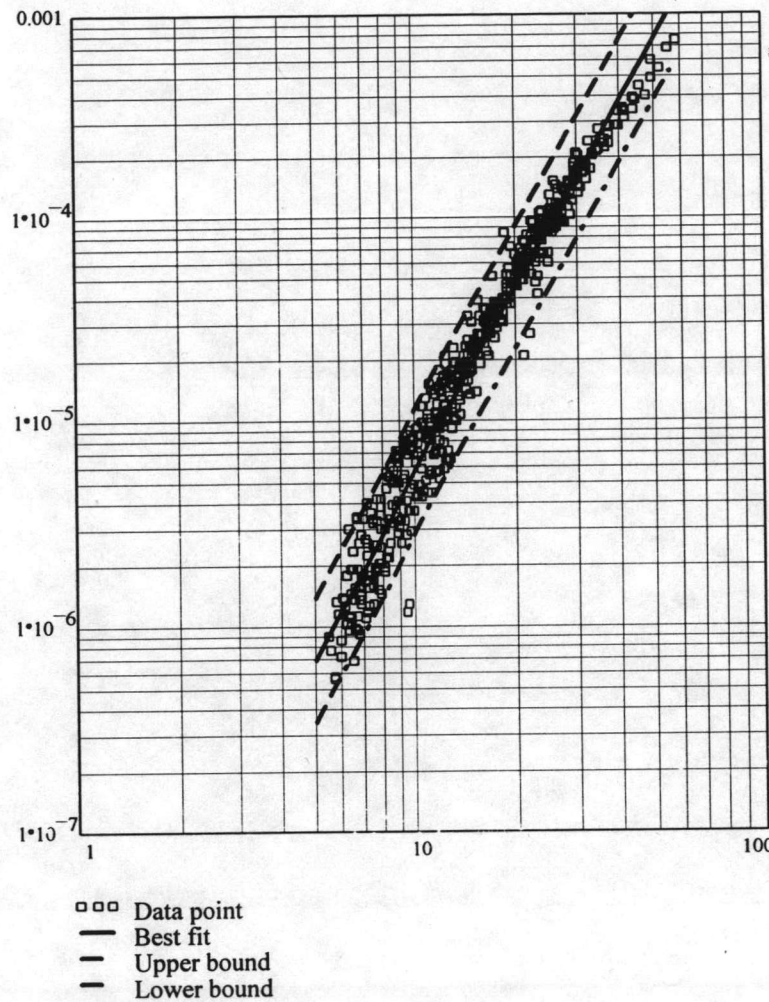
รูปที่ 6.14 กราฟแสดงผลของอัตราส่วนการที่มีต่ออัตราการเติบโตของรอยร้าวเนื่องจากความล้ำของวัสดุ AISI 4140 ที่การะสูงสุดเท่ากับ 1.600 ตัน



รูปที่ 6.15 กราฟแสดงผลของอัตราส่วนภาระที่มีต่ออัตราการเติบโตของรอยร้าวเนื่องจากความล้ำของวัสดุ AISI 4140 ที่ภาระสูงสุดเท่ากับ 3.333 ตัน



รูปที่ 6.16 ภาพแสดงจุดข้อมูลที่ได้จากทุก ๆ สภาพทดสอบ



รูปที่ 6.17 แสดงเส้นขอบเขตบน และล่างของจุดข้อมูลอัตราการเติบโตของรอยร้าว
เนื่องจากความล้าสำหรับวัสดุ AISI 4140

จากการทดสอบมีความแตกต่างจากเส้นตรงที่ได้จากการวิเคราะห์การทดสอบโดยกำลังสองน้อยที่สุดประมาณ 2 เท่า ทำให้การนำสมการอัตราการเติบโตของรอยร้าวที่ได้จากการวิเคราะห์การทดสอบโดยกำลังสองน้อยที่สุดไปใช้ทำนายอายุความล้าของชิ้นส่วนที่ทำจากวัสดุ AISI 4140 นั้นจะต้องซัดเชยความไม่แน่นอนเนื่องจากความระจัดกระจายของข้อมูลด้วยตัวประกอบความปลอดภัยประมาณ 2 อย่างไรก็ได้หากคำนึงถึงความไม่แน่นอนของตัวแปรอื่น ๆ เช่นภาระที่เกิดขึ้นจริง, สมบัติของวัสดุ ค่าตัวประกอบความปลอดภัยที่เลือกใช้ครั้งมากกว่า 2

ในเชิงการทดสอบ การทราบว่าข้อมูลอัตราการเติบโตของรอยร้าวมีความกระจายอยู่ในขอบเขตบน และล่างที่แตกต่างกันถึง 4 เท่า ทำให้ในกรณีที่มีความจำเป็นต้องหาข้อมูลอัตราการเติบโตเพื่อใช้ในการประเมินอายุคร่าว ๆ นั้น สามารถกระทำโดยทดสอบกับชิ้นงานทดสอบจำนวนไม่มากชิ้น จากนั้นนำไปใช้วิารณญาณเพื่อตรวจสอบว่าควรเพื่อตัวประกอบความ

ปลอดภัยเท่ากับเท่าใด(แทนการที่พยายามจะทดสอบชั้นงานทดสอบจำนวนมากซึ่งจะกระทำให้ความมั่นใจซึ่งเป็นการเสียเวลาอย่างมาก) นอกจากนี้การประเมินอายุความล้าจวิง ๆ ในชั้นส่วนอุปกรณ์จะมีการตรวจสอบเป็นช่วง ๆ ระหว่างการใช้งานอุปกรณ์ดังกล่าว ทำให้ความผิดพลาดในการประเมินอายุโดยใช้ข้อมูลอัตราการเดินໂ托ของรอยร้าวที่ได้จากการทดสอบชั้นงานทดสอบจำนวนน้อยซึ่นนลดลง เนื่องจากข้อมูลดิบต่าง ๆ ที่ถูกป้อนเข้าสู่สมการอัตราการเดินໂ托ของรอยร้าวจะถูกปรับให้เข้ากับสถานะการณ์ปัจจุบัน(ที่เกิดขึ้นจริง)เสมอ ยกตัวอย่างเช่น ความยาวรอยร้าวขณะนั้น(ซึ่งเป็นค่าที่แท้จริง)จะถูกนำไปแทนที่ค่าความยาวรอยร้าวซึ่งทำนายจากการตรวจครั้งก่อน เป็นต้น